半导体激光器快速激励脉冲的形成电路

· 长春光机学院 梁国忠 ·

本文讨论用雪崩晶体管作放电开关,分别和电容器、传输线两种储能元件构成的毫微秒脉冲发生器的工作特点,及有关电路参数的选择。也介绍了雪崩晶体管与高频大功率晶体管、大功率 MOS 场效应管的组合应用。

一、基本考虑

半导体激光器在脉冲状态工作时,要求激励脉冲的前沿愈陡愈好。这种脉冲的产生,是基于储能元件经快速开关放电而实现的。常用的放电开关器件有可控硅、大功率晶体管及雪,崩晶体管,它们构成的电路形式上类似,如图1所示。图中E为储能元件,它可以是电容器,或者是传输线(包括同轴电缆和人工线)。为了形成矩形脉冲,应该采用传输线作储能元件。几个有代表性的激励脉冲形成电路(即半导体激光器电源)的主要性能列于表1^(1~3)。

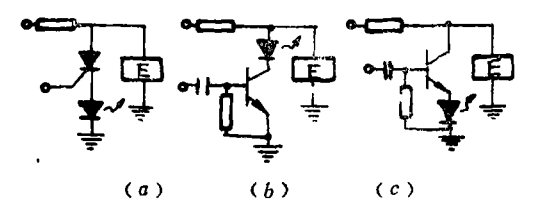


图 1 半导体激光器电源原理图 a) 可控硅开关 b) 大功率晶体管开关 c) 雪崩 晶体管开关

从表 1 可以看出,可控硅开关能转换很大的脉冲电流,但其重复频率较低。比较起来, 雪崩晶体管的开关速度最快,能形成前沿为 1

表1 几种激光器电源的性能比较

开关器件	前 沿 (ns)	脉 宽 (ns)	幅 值 (A)	重复频率 (kHz)	储能元件
可挖硅	40	100	200	0.5	人工线
大功率晶体	<40	150	55	6	电容器
管 雪崩晶体管	1	10	0.13	500	同轴电缆

ns 左右的脉冲。大功率晶体管的开关 性 能 介于可控硅与雪崩晶体管之间。此外,雪崩晶体管的温度特性好,触发灵敏度高。所以,在要求为半导体激光器提供快速激励脉冲的 地 方,常常选用雪崩晶体管作放电开关。

下面,我们讨论电容器、传输线经雪崩晶体管放电,产生快速激 **励 脉 冲 的** 电 路 设 计问题。

二、电容器放电形成快速脉冲

电路结构如图 2 ,其中 C_1 是储能电容 器, T_1 为雪崩晶体管。本电路的开关特性主要取决于管 T_1 的雪崩特性。为便于讨论,图 2 给出了晶体管共发射极电路的输出特性(对应于基极回路的不同偏置情形)。我们感兴趣的 是 基极回路接电阻时的击穿特性曲 线(图 中的曲线 2)。

本刊1985年5月收到

^[7] A. Abdul-Fadl et al, J. Cryst. Growth 39, 341 (1977).

^[8] J. J. Daniele, et al, J. Appl. Phys, 48, 914 (1977).

^[19] M. Kumagawa et al, J. Electrochem. Soc 120 (1973) 583.

^[10] L. Jastrzebski et al, J. Appl Phys 49(12)5909 Dec. (1978).

^[11] B. R. Pamplin, 《晶体生长》, 1981, p. 55。中国 建筑工业出版社

^[12] M. G. Astles, J. Electronic Materials Vol 10, No 1,3 (1981).

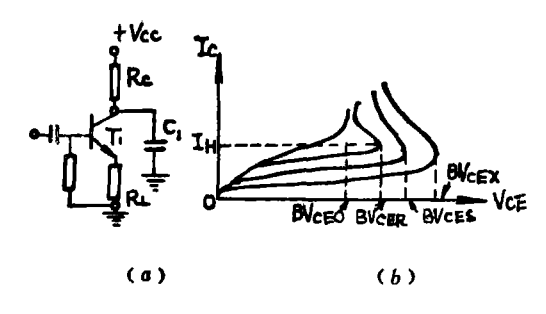


图 2 电容放电式激光器电源

电源接通后,在某一范围内,集电极电流随集电极电压增加而缓慢上升(见图 2)。但是,当集电极电压上升到 BV_{BR} (基极接电阻时晶体管的集射击穿电压)时,集电极电流为 I_H (即初始雪崩电流),此时晶体管进入雪崩工作状态。此后集电极电流猛增,集射电压变得很低,晶体管呈现出负阻特性。

上述分析表明,要使用图 2 电 路 正 常 工作,必须满足两个条件

$$V_{CC} \langle BV_{CER} \rangle$$
 (1)

$$R_c > V_{cc}/I_H$$
 (2)

这保证,电源 V_{cc} 接通时,经电阻 R_s 给 C_1 充电,最终充到 V_{cc} 。并且保证,在触发信号到来之前,晶体管 T_1 不会进入雪崩区。

当一正触发脉冲加到 T_1 基极时,它导通, C_1 经 T_1 、 R_L (实际上是半导体激光器)迅速放电,于是产生大电流脉冲。脉冲特性主要受下列因素影响。脉冲前沿由晶体管从低电流进入雪崩区的速度来决定,由于雪崩电阻很小,脉冲宽度基本上由放电回路的时间常数 R_Lc_1 确定;脉冲重复频率取决于充电回路时间常数 R_cC_1 的大小 $^{(4)}$ 。受式(2)的限制,重复频率不可能随意提高。

图示电路的重复频率可做到几十千赫。例如,当 R_{\bullet} =15k Ω , C_{1} =1000pf时,重复频率达 20 kHz。

所用晶体管可以从一些普通硅平面开关管 (3DK 系列)中挑选,也可以使用专用雪崩晶体管,国内已有生产。

三、传输线放电形成快速脉冲

图 2 电路通过电容放电来产生脉冲,近似

于尖顶脉冲。为了改善脉冲形状,用传输线代替电容器,可以形成快速矩形脉冲。我们讨论均匀传输线情形,设单位长度的电感和电容分别用L和C表示,则有以下两个基本关系

$$T = \sqrt{LC}$$

$$Z_0 = \sqrt{L/C}$$

式中,T为传输线单位长度的延迟时间,Z。为传输线的特性阻抗。

考虑传输线放电形成脉冲的原理,如图 3 所示 (5)。通过充电电阻将一段终端开路的传输线充电到电源电压V。借助开关器件使传输线经负载电阻Z放电。如果开关闭合后又断开,传输线就可重新充电。此过程反复进行,就形成周期性的脉冲。开关瞬间闭合的作用,相当于一个数值为V的阶跃函数电动势发生器(其连接方式如图 3 b)。把这个电动势写成时间的函数,即[V] = [1]。开关在时间 t=0 时动作。因而电动势的拉氏变换为[\overline{V}] = V/p。

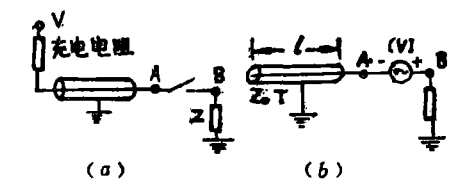


图 3 放电线脉冲发生器基本电路

如果传输线在远离发生器的一端开路,并且工作于匹配情形(即 $Z=Z_0$),则最终在负载Z上得到的信号电压 \overline{V}_B 为

$$\overline{V}_B = (1 - e^{-2pTL}) \cdot [\overline{V}]/2$$
 (3)
式中 l 为传输线长度。

对式(3)取拉氏反变换时,能看出输出脉冲是矩形波,并且其幅度是电源电压的一半,脉冲宽度为 2Tl(即 $2l\sqrt{LC}$)。因此,选择不同长度的传输线和不同大小的电源电压V,就能形成各种宽度和幅度的矩形脉冲。这样的矩形脉冲,正是半导体激光器正常工作所必需的。

图 4π 是传输线**放电形成脉冲** 电 路。电源接通后,开**路线经** 电 阻 R。充电到 V...。当一正触发信号加到 T_1 基极时, T_1 产 生 雪 崩 导

通,传输线经激光二极管 D_1 和 R_a 放电。由前面的分析可知,放电形成的脉冲宽度等于传输线延迟时间的二倍,并且当 $Z=Z_a$ 时,可以得到很好的矩形脉冲。因此,放电回路的等效电路(图4b)应满足关系

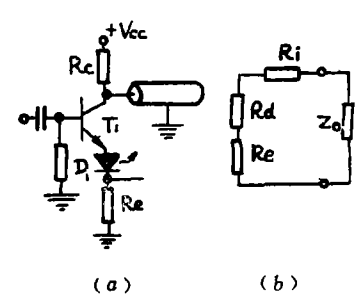


图 4 传输线放电式激光器电源

$$R_i + R_d + R_e = Z_0 \tag{4}$$

式中 R_i 、 R_a 分别为 T_i 、 D_i 导通时的内阻, R_a 为检测电阻(通常为 1Ω),借助它可方便地观察电流脉冲波形及其幅度的大小。

传输线一般选用同轴电缆,也可采用集中 参数构成的人工线(脉冲形成网络)。不过后 者只能得到与同轴电缆大致相同的特性,输出 脉冲近似于矩形。尽管如此,人工线的应用也 相当普遍^(8,6)。

四、电路性能的进一步改进

- 1. 单个雪崩晶体管虽然能产生很大的峰值电流脉冲,但有时也不能满足激光二极管的要求,此时可将两、三只雪崩晶体管并联应用。另外,适当降低工作频率,同样电路能相应地输出较大峰值的电流脉冲。
- 2. 也可以选用超高频大功率晶体管 作 输出级,来提高输出电流的 大 小,如图 5 所示。

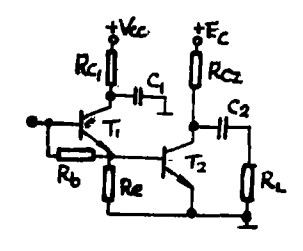


图 5 雪崩管-大功率晶体管激光器电源

图中 T_1 为雪崩晶体管, T_2 为超高频大功率晶体管,输出脉冲前沿可达 1ns。

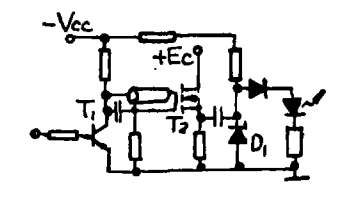


图 6 雪崩管-功率MOSFET激光器电源

参考文献

- (1) V. P. Dyakonov et al, Instrum Exp. Tech, 1979, p. 970.
- [2] В. М. Вакуленко и др., Источники питания лазеров, Москва, 1980.
- [3] К.Д. Шмелев и др., Источники электропитания лазеров, Москва, 1981.
- [4] 梁国忠, 兵器激光, 1983, 6。
- [5] I. A. D. 勒威斯等,毫微秒脉冲技术,席德明等译(1965)。
- [6] D. K. Armstrong et al, Rev. Sci. Instrum, Vol. 47, No. 6, 1976, p. 767.
- (7) С.И. Зиенко и др, ПТЭ, 1984, 2, стр. 100.